

©1995 г.

## РЕКОМБИНАЦИОННЫЕ СВОЙСТВА ИМПЛАНТИРОВАННЫХ ИОНАМИ I, III И VIII ГРУПП И ТЕРМИЧЕСКИ ОТОЖЖЕННЫХ КРИСТАЛЛОВ $Cd_xHg_{1-x}Te$

*М.И.Ибрагимова, Н.С.Барышев, В.А.Жихарев, И.Б.Хайбуллин*

Казанский физико-технический институт Российской академии наук,  
420029, Казань, Россия

(Получена 20 июля 1994 г. Принята к печати 12 декабря 1994 г.)

Исследовано влияние ионной имплантации элементов I, III и VIII групп в сочетании с диффузионным термическим отжигом на рекомбинационные свойства  $Cd_xHg_{1-x}Te$  с  $0.204 \leq x \leq 0.3$ . Показано, что после имплантации и последующего отжига в кристаллах  $Cd_xHg_{1-x}Te$ , в которых произошла инверсия типа проводимости  $n \rightarrow p$ , при температурах ниже  $200 \pm 150$  К доминирует рекомбинация через локальные уровни, расположенные на  $25 \pm 10$  мэВ ниже дна зоны проводимости. Возникающие при этом рекомбинационные центры нейтральны и связаны, по-видимому, с формированием в кристаллах  $Cd_xHg_{1-x}Te$  вакансационных комплексов типа  $(V_{Hg}V_{Te})$ .

### Введение

Твердые растворы  $Cd_xHg_{1-x}Te$  являются в настоящее время базовым материалом для изготовления приемников инфракрасного излучения. Весьма успешнымказалось применение метода ионной имплантации в сочетании с последующим термическим отжигом для формирования высококачественных  $n-p$ - и  $p-n$ -переходов (см., например, [1–5]). Кроме того, в работах [6,7] показана возможность управления электрическими параметрами кристаллов  $Cd_xHg_{1-x}Te$  путем дозированного внедрения ионов I и III групп<sup>1</sup> и последующего диффузионного термического отжига, что позволило авторам получить объемный материал как  $n$ - , так и  $p$ -типа проводимости с заданным уровнем концентрации носителей заряда. В [6] также установлено отсутствие влияния на электрические параметры кристаллов  $n$ - и  $p$ -типа проводимости имплантации ионов  $Xe^+$  с последующим диффузионным отжигом.

<sup>1</sup> В работе [7] обнаружено амфотерное поведение индия, имплантированного в кристаллы  $n\text{-}Cd_xHg_{1-x}Te$ ; нами также установлено аналогичное поведение имплантированных ионов  $Ga^+$ .

Значительный интерес представляет исследование времени жизни  $\tau$  неравновесных носителей заряда в узкозонных полупроводниках и определение основных механизмов рекомбинации, контролирующих  $\tau$  в них. К настоящему времени накоплен большой экспериментальный материал по исследованию процессов рекомбинации в кристаллах  $p$ - и  $n$ -типа проводимости (см., например, обзор [8]). В частности, установлено, что в кристаллах  $p\text{-Cd}_x\text{Hg}_{1-x}\text{Te}$  и компенсированном материале  $n$ -типа проводимости в области примесной проводимости преобладает рекомбинация на центрах Шокли-Рида. Исследованию процессов рекомбинации в ионно-имплантированных образцах посвящена лишь одна работа [9]. Обнаруженный в этой работе глубокий уровень  $E_T = E_c - 0.19 \text{ эВ}$  в  $n\text{-Cd}_x\text{Hg}_{1-x}\text{Te}$  с  $x \approx 0.3$  при имплантации  $\text{B}^+, \text{Cl}^+, \text{H}^+$  связывается с возникающими радиационными дефектами. Кроме того, в работе [10] показано, что облучение  $p\text{-Cd}_{0.2}\text{Hg}_{0.8}\text{Te}$  электронами с энергией 2.3 МэВ приводит к инверсии типа проводимости  $p \rightarrow n$  и к образованию рекомбинационных центров с уровнем энергии  $(40 \pm 5) \text{ мэВ}$  над валентной зоной.

Цель настоящей работы — исследование рекомбинационных свойств кристаллов  $\text{Cd}_x\text{Hg}_{1-x}\text{Te}$  подвергнутых имплантации ионами I, III, и VIII групп и последующему диффузионному термическому отжигу.

### Методика эксперимента

В качестве исходного материала использовались монокристаллы  $\text{Cd}_x\text{Hg}_{1-x}\text{Te}$ , выращенные различными методами, с содержанием теллурида кадмия  $x = 0.204 \div 0.3$ . В свежепротравленные (в 2%-м растворе брома в этиловом спирте) образцы производилась имплантация ионов  $\text{Cu}^+, \text{Ag}^+, \text{Ga}^+, \text{In}^+$  и  $\text{Xe}^+$  с энергиями  $30 \div 80 \text{ кэВ}$  в интервале доз  $1.2 \cdot 10^{14} \leq \Phi \leq 10^{17} \text{ см}^{-2}$  при комнатной температуре. Плотность ионного тока не превышала  $0.7 \text{ мА/см}^2$ , что позволяло предотвратить нагрев образцов в процессе ионной имплантации. Для однородного перераспределения внедренной примеси по всей толщине пластины ( $\sim 1 \text{ мкм}$ ) и удаления радиационных дефектов проводился диффузионный термический отжиг (ДТО) в кварцевой ампуле в насыщенных парах ртути в течение  $10 \div 12$  сут. Температура отжига составляла  $300 \pm 10^\circ \text{C}$  для кристаллов, подвергнутых имплантации  $\text{Cu}^+, \text{Ag}^+$  и  $\text{Xe}^+$ , и варьировалась в интервале  $250 \div 450^\circ \text{C}$  для  $\text{Cd}_x\text{Hg}_{1-x}\text{Te}$ , облученного  $\text{Ga}^+$  и  $\text{In}^+$ . После отжига производились шлифовка образцов и удаление приповерхностных слоев толщиной  $100 \div 200 \text{ мкм}$ .

Измерения коэффициента Холла  $R_H$  и электропроводности  $\sigma$  проводились методом Ван-дер-Пау при температурах 77 и 30 К, при напряженностях магнитного поля 500 и 15000 Э.

Для определения времени жизни неравновесных носителей заряда (ННЗ) в интервале температур 77–300 К использовался метод релаксации фотопроводимости при импульсном возбуждении излучением диода на  $\text{GaAs}$  с длиной волны  $\lambda = 0.91 \text{ мкм}$ . Измерения производились при низком уровне возбуждения, релаксация фотопроводимости происходила по экспоненциальному закону.

Спектральное распределение фотопроводимости кристаллов изменилось на спектрометре ИКС-21 с призмой из  $\text{NaCl}$  при температуре жидкого азота.

## Результаты измерений и обсуждение

На основании многочисленных измерений электрических параметров было установлено, что, варьируя дозу имплантации электрически активных примесей ( $\text{Ag}^+$ ,  $\text{Cu}^+$ ,  $\text{In}^+$ ,  $\text{Ga}^+$ ) в  $n\text{-Cd}_x\text{Hg}_{1-x}\text{Te}$ , можно достичь снижения концентрации электронов в исходных кристаллах вплоть до инверсии типа проводимости и получить материал как со смешанной, так и с дырочной проводимостью. В табл. 1 представлены типичные результаты таких измерений для образцов  $\text{Cd}_x\text{Hg}_{1-x}\text{Te}$  до и после ионной имплантации в сочетании с последующим ДТО.

Фотоэлектрические измерения при 77 К показали, что использование ионной имплантации электрически активными примесями в  $n\text{-Cd}_x\text{Hg}_{1-x}\text{Te}$  в сочетании с последующим диффузионным термическим отжигом позволяет получить фоточувствительный материал на основе исходного нефоточувствительного. Результаты измерений времени жизни ННЗ  $\tau$  при температуре 77 К также приведены в табл. 1.

Измерения спектрального распределения сигнала фотопроводимости при 77 К с обеих сторон имплантированных образцов и после последовательного удаления слоев толщиной  $\sim 100 \div 150$  мкм показали высокую степень однородности их состава, а ранее проведенные нами измерения электрических параметров [6] — достаточно однородное перераспределение внедренных ионов в процессе отжига по всей толщине пластин.

С целью определения основных процессов рекомбинации и оценки глубины залегания уровней, созданных в результате ионной имплантации электрически активных примесей и ДТО в  $\text{Cd}_x\text{Hg}_{1-x}\text{Te}$ , были измерены температурные зависимости времени жизни ННЗ в диапазоне 77  $\div$  300 К. На рис. 1 приведены типичные результаты измерений  $\tau = f(1/T)$ . Количественный анализ этих кривых позволил установить, что высокотемпературные их части хорошо описываются в модели межзонной ударной и излучательной рекомбинации (см. [11, 12]). В исследованных образцах  $\text{Cd}_x\text{Hg}_{1-x}\text{Te}$ , в которых после ионной имплантации и последующего ДТО произошла инверсия типа проводимости  $n \rightarrow p$ , при температурах ниже 200  $\div$  150 К доминирует рекомбинация через локальные уровни в запрещенной зоне.

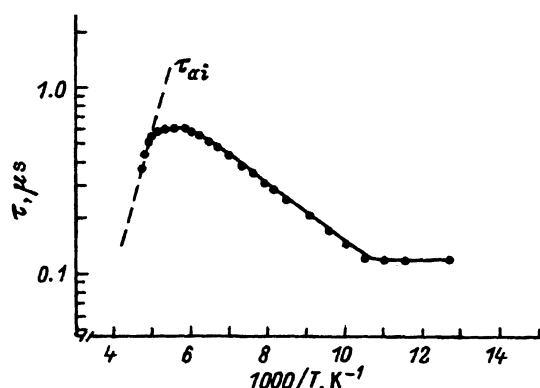


Рис. 1. Температурная зависимость времени жизни неравновесных носителей заряда для образца C1  $\leftarrow \text{Ag}^+$  ( $x = 0.235$ ). Сплошная линия — расчет по теории Шокли-Рида.  $\tau_{ai}$  — время жизни, обусловленное ударной рекомбинацией в  $\text{Cd}_x\text{Hg}_{1-x}\text{Te}$  ( $x = 0.235$ ) с собственной проводимостью.

**Таблица 1.** Параметры образцов при 77 К до и после имплантации  $\text{Cu}^+$ ,  $\text{Ag}^+$ ,  $\text{Ga}^+$ ,  $\text{In}^+$ ,  $\text{In}^+$ ,  $\text{Xe}^+$  и диффузионного термического отжига

Образец	$x$	До имплантации			Условия имплантации			После имплантации и отжига		
		тип проводимости	$1/eR_H, 10^{15} \text{ см}^{-3}$	$ R_H ^\sigma, 10^4 \text{ см}^2/\text{В}\cdot\text{с}$	$\tau, \text{мкс}$	ион	$\Phi, 10^{15} \text{ см}^{-2}$	тип проводимости	$1/eR_H, 10^{15} \text{ см}^{-3}$	$ R_H ^\sigma, 10^4 \text{ см}^2/\text{В}\cdot\text{с}$
C1	0.235	n	-1.18	5.5	-	$\text{Ag}^+$	0.37	p	4.3	0.05
C2	0.3	n	-1.23	5.4	-	$\text{Ag}^+$	0.62	p	2.1	0.029
C3	0.245	n	-17.3	3.3	-	$\text{Ag}^+$	6.24	p	3.9	0.027
M1	0.232	n	-5.2	7.4	-	$\text{Cu}^+$	2.5	p	8.5	0.02
M2	0.3	n	-1.3	3.64	-	$\text{Cu}^+$	1.1	p	1.41	0.03
M3	0.25	n	-1.49	1.05	-	$\text{Cu}^+$	0.94	p	6.86	0.031
M4	0.3	n	-1.23	5.4	-	$\text{Cu}^+$	0.25	p	1.2	0.053
M5	0.3	n	-1.13	4.7	-	$\text{Cu}^+$	1.1	p	4.19	0.045
G1	0.3	n	-1.1	4.3	-	$\text{Ga}^+$	62.4	p	2.15	0.029
G2	0.204	n	-3.7	14.0	-	$\text{Ga}^+$	12.5	p	6.13	0.039
I1	0.27	n	-2.7	5.3	-	$\text{In}^+$	62.4	p	2.5	0.038
I2	0.204	n	-3.7	14.0	-	$\text{In}^+$	62.4	p	9.2	0.053
K1	0.24	p	1.15	1.82	7.0	$\text{Xe}^+$	37.4	p	1.1	1.85

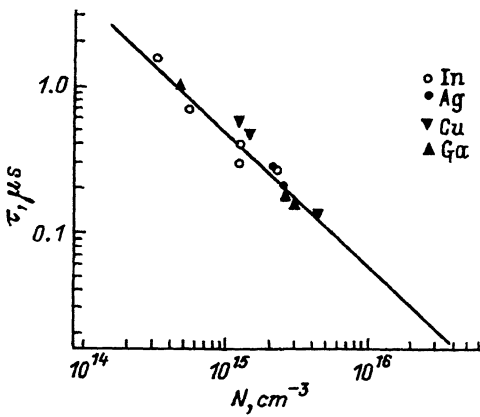


Рис. 2. Зависимость времени жизни неравновесных носителей заряда от концентрации  $N$  введенных имплантаций центров в  $p\text{-Cd}_{0.3}\text{Hg}_{0.7}\text{Te}$ .  $T = 77\text{ K}$ .

Глубина залегания уровней определялась согласно статистике рекомбинации на центрах Шокли-Рида из выражения

$$\tau_t = \tau_{p0} \frac{n_0 + n_1}{n_0 + p_0} + \tau_{n0} \frac{p_0 + p_1}{n_0 + p_0},$$

где  $n_0$  и  $p_0$  — равновесные концентрации электронов и дырок,  $\tau_{p0} = (B_p N_t)^{-1}$ ,  $\tau_{n0} = (B_n N_t)^{-1}$ ,  $B_p$  и  $B_n$  — коэффициенты захвата дырок и электронов,  $N_t$  — концентрация центров рекомбинации.

$$n_1 = N_c \exp(-E_t/kT),$$

$$p_1 = N_v \exp[-(E_g - E_t)/kT],$$

энергия рекомбинационного уровня  $E_t$  отсчитывается от дна зоны проводимости;  $N_c$  и  $N_v$  — эффективные плотности состояний соответственно в зоне проводимости и валентной зоне.

На рис. 2 приведена зависимость времени жизни при  $77\text{ K}$  от концентрации введенных имплантаций центров для  $\text{Cd}_x\text{Hg}_{1-x}\text{Te}$ , облученного  $\text{Ag}^+$ ,  $\text{Cu}^+$ ,  $\text{In}^+$  и  $\text{Xe}^+$ , с  $x = 0.3$ . На этом же рисунке сплошной линией приведена зависимость  $\tau \sim N_A^{-1}$  ( $N_A$  — концентрация акцепторных центров) для кристаллов  $\text{Cd}_x\text{Hg}_{1-x}\text{Te}$  с  $x \sim 0.32$  при  $110\text{ K}$ , взятая из работы [13]. Полученные нами данные хорошо описываются зависимостью  $\tau \sim N_A^{-1}$  — однозначное свидетельство того, что в области низких температур преобладающим механизмом является рекомбинация через локальные центры, концентрация которых пропорциональна числу созданных ионной имплантацией акцепторов ( $N_A$ ). В работе [6] нами была установлена пропорциональность  $N_A$  числу внедренных при имплантации ионов в тех же образцах  $\text{Cd}_x\text{Hg}_{1-x}\text{Te}$ .

В табл. 2 приведены результаты расчетов для образцов  $\text{Cd}_x\text{Hg}_{1-x}\text{Te}$  с  $x \approx 0.3$ , выращенных из двухфазной смеси с постоянной подпиткой расплава. Из данных таблицы видно, что имплантация ионами I и III групп в сочетании с последующим ДТО приводит к образованию рекомбинационных уровней, расположенных на  $20 \div 35\text{ мэВ}$  ниже дна зоны проводимости. Отношение экспериментально полученных величин  $\tau_{n0}$  и рассчитанных  $\tau_{p0}$  близко к 1 для всех рассматриваемых кристаллов. Последнее свидетельствует о том, что образовавшиеся рекомбинационные центры скорее всего нейтральны.

**Таблица 2.** Параметры центров рекомбинации для образцов  $\text{Cd}_x\text{Hg}_{1-x}\text{Te}$  с  $x \cong 0.3$

Образец	Ион	$x$	Доза, $10^{15} \text{ см}^{-3}$	Концентрация, $10^{15} \text{ см}^{-3}$	$E_c - E_t, \text{мэВ}$	$\tau_{p0}, 10^{-6} \text{ с}$	$\tau_{n0}, 10^{-6} \text{ с}$	$\tau_{p0}/\tau_{n0}$
M2	Cu <sup>+</sup>	0.3	1.1	1.41	21	0.35	0.5	0.7
M4	Cu <sup>+</sup>	0.3	0.25	1.2	28	0.17	0.6	0.3
M5	Cu <sup>+</sup>	0.3	1.1	4.19	29	0.081	0.14	0.6
K1	Xe <sup>+</sup>	0.24	37.4	1.0	30	0.3	0.1	3
C2	Ag <sup>+</sup>	0.3	0.62	2.1	35	0.48	0.29	1.6
G1	Ga <sup>+</sup>	0.3	62	2.15	35	1.28	0.28	4.6

**Таблица 3.** Параметры центров рекомбинации для образцов  $\text{Cd}_x\text{Hg}_{1-x}\text{Te}$  с  $x < 0.3$

Образец	Ион	$x$	Доза, $10^{15} \text{ см}^{-3}$	Концентрация, $10^{15} \text{ см}^{-3}$	$E_c - E_t, \text{мэВ}$	$\tau_{p0}, 10^{-6} \text{ с}$	$\tau_{n0}, 10^{-6} \text{ с}$	$\tau_{p0}/\tau_{n0}$
M1	Cu <sup>+</sup>	0.23	2.5	8.5	17	3.6	0.2	18
M3	Cu <sup>+</sup>	0.25	0.94	6.86	26	2.0	0.1	20
C3	Ag <sup>+</sup>	0.245	6.2	3.9	27	1.6	0.15	11
C1	Ag <sup>+</sup>	0.235	0.37	4.3	35	1.7	0.12	14

Небольшие различия в положении рекомбинационных уровней и в величинах  $\tau_{n0}$  и  $\tau_{p0}$  для образцов  $Cd_xHg_{1-x}Te$ , подвергнутых облучению различными ионами I и III групп, не дают возможности связать возникающие центры с конкретными примесями. Полученные данные согласуются с результатами работ [14, 15]. В частности, проведенные в работе [14] попытки идентифицировать рекомбинационные уровни в кристаллах, специально легированных Cl, Au, Ag, Si, Fe, In и Al, оказались безуспешными. С другой стороны, наблюдаемые в данных образцах уровни рекомбинации не могут определяться и чисто радиационными дефектами, поскольку, как установлено в [9], центры рекомбинации, имеющие радиационную природу, характеризуются сильным захватом дырок и слабым захватом электронов ( $\tau_{n0} \gg \tau_{p0}$ ). Однако проведенное нами облучение образцов  $Cd_xHg_{1-x}Te$  ионами инертного  $Xe^+$  в сочетании с аналогичным ДТО показывает, что ионная имплантация приводит к формированию эффективных центров рекомбинации, значительно уменьшающих время жизни в области низких температур. Отметим, что имплантация  $Xe^+$  не приводит к изменениям электрических свойств  $Cd_xHg_{1-x}Te$  [6] (табл. 1) и влияние облучения на процессы рекомбинации исследовалось на образцах, в которых исходно обнаруживался заметный фотоэлектрический эффект. Кроме того, если в исходном кристалле температурный ход  $\tau$  удовлетворительно объяснялся действием межзонных процессов, то после ионной имплантации с последующим ДТО зависимость  $\tau = f(1/T)$  приобрела вид, характерный для рекомбинации ННЗ на центрах Шокли–Рида [12]. Энергия рекомбинационного уровня составляет  $\sim 30$  мэВ от дна зоны проводимости, и отношение  $\tau_{n0}/\tau_{p0}$  близко к единице (табл. 2). Поскольку ксенон химически нейтрален, можно предполагать, что создаваемые при ионной имплантации центры рекомбинации связаны с радиационными дефектами, скорее всего входящими в состав комплексов.

Возможный вариант процесса формирования рекомбинационных центров в  $Cd_xHg_{1-x}Te$  с  $x \approx 0.3$ , подвергнутом ионной имплантации и ДТО, может быть представлен в следующей модели. Ионная имплантация приводит к сильному нарушению приповерхностного слоя вплоть до аморфизации при используемых нами режимах [16]. При последующем термическом отжиге в насыщенных парах ртути этот слой служит источником, создающим поток внедренных ионов и возникающих дефектов в глубь кристалла. В результате в объеме кристалла создаются неравновесные концентрации вакансий как в ртутной, так и в теллуровой подрешетках. Эти вакансии либо заполняются внедренными примесями, что определяет изменение электрических свойств, либо образуют достаточно стабильные комплексы, по-видимому, ( $V_{Hg}V_{Te}$ ). Зарядовое состояние комплекса определяется зарядовым состоянием ртутной вакансии в предположении, что вакансия теллура всегда двукратно положительно заряжена. В  $Cd_xHg_{1-x}Te$  с  $x \approx 0.3$  основным типом вакансий Hg являются двукратно отрицательно заряженные вакансии, и, следовательно, образующиеся комплексы нейтральны. Предложенная модель согласуется с данными экспериментов по облучению  $Cd_xHg_{1-x}Te$  ионами  $Xe^+$  и установленной зависимостью  $\tau \sim N_A^{-1} \sim \Phi^{-1}$ .

В табл. 3 представлены параметры центров рекомбинации для образцов  $Cd_xHg_{1-x}Te$  с составом, соответствующим  $x < 0.3$ . Из данных таблицы видно, что после имплантации ионов I группы и ДТО наблю-

дается рекомбинационный уровень, локализованный в том же интервале энергий 20÷35 мэВ от дна зоны проводимости, что и в образцах с  $x \cong 0.3$ , однако отношение  $\tau_{p0}/\tau_{n0}$  составляет 10÷20. В предложенной выше модели увеличение отношения  $d\tau_{p0}/\tau_{n0}$  может быть связано с изменением зарядового состояния вакансий ртутной подрешетки. С уменьшением ширины запрещенной зоны возрастает доля однократно заряженных вакансий ртути  $V_{\text{Hg}}$ . Поэтому, по всей видимости, при ионной имплантации и ДТО в образцах  $\text{Cd}_x\text{Hg}_{1-x}\text{Te}$  с  $x < 0.3$  образуются в основном положительно заряженные комплексы ( $V_{\text{Hg}}V_{\text{Te}}$ ).<sup>2</sup>

Таким образом, в настоящей работе показано, что ионная имплантация как электрически активных, так и нейтральных примесей в сочетании с диффузионным термическим отжигом приводит к образованию локальных уровней в запрещенной зоне, расположенных на 25÷10 мэВ ниже дна зоны проводимости. Природа этих уровней общая, поскольку они обладают сравнительно небольшими различиями в параметрах рекомбинации Шокли-Рида  $\tau_{n0}$  и  $\tau_{p0}$  и связаны, по-видимому, с комплексами радиационных дефектов, возникающих при ионной имплантации в  $\text{Cd}_x\text{Hg}_{1-x}\text{Te}$ .

В заключение авторы выражают благодарность В.Ю.Петухову за полезное обсуждение результатов.

### Список литературы

- [1] G.L. Destefanis. J. Vac. Sci. Technol. A, **3**, 171 (1985).
- [2] L.O. Bubulac, W.E.Tennant, D.S.Lo, D.D. Edwall, J.C. Robinson, J.C. Chen, G. Bostrup. J. Vac. Sci. Technol. A, **5**, 3166 (1987).
- [3] J. Baars, H. Seelewind, Ch. Fritzshe, U. Kaiser, J. Ziegler. J. Cryst. Growth, **86**, 762 (1988).
- [4] L.O. Bubulac, D.D. Edwall, D. McConnell, R.E. De Wane, E.R. Blazejewski, E.R. Gertner. Semicond. Sci. Technol., **5**, S45 (1990).
- [5] S.E. Schacham, E. Finkman. Semicond. Sci. Technol., **5**, S41 (1990).
- [6] М.И. Ибрагимова, Н.С. Барышев, И.Б. Хайбуллин, Ф.И. Ахмедова, А.П. Фадеева. ФТП, **23**, 1249 (1989).
- [7] Ф.И. Ахмедова, Н.С. Барышев, М.И. Ибрагимова, И.Б. Хайбуллин. ФТП, **21**, 575 (1987).
- [8] Н.С. Барышев, Б.Л. Гельмонт, М.И. Ибрагимова. ФТП, **24**, 209 (1990).
- [9] V.F. Cotton, J.A. Wilson. J. Vac. Sci. Technol. A, **4**, 2177 (1986).
- [10] А.В. Войцеховский, А.П. Коханенко, Ю.В. Лиленко, А.С. Петров. ФТП, **15**, 676 (1981).
- [11] Б.Л. Гельмонт. ЖЭТФ, **75**, 536 (1978).
- [12] Н.С. Барышев, М.И. Ибрагимова, И.Б. Хайбуллин. ФТП, **24**, 363 (1990).
- [13] D.L. Polla, R.L. Aggarwal, D.A. Nelson, J.F. Shanley, M.B. Reine. Appl. Phys. Lett., **43**, 941 (1983).
- [14] R.G. Pratt, J. Hewett, P. Capper, C.L. Jones, N. Judd. J. Appl. Phys., **60**, 2377 (1986).
- [15] D.E. Lacklison, P. Capper. Semicond. Sci. Technol., **2**, 33 (1987).
- [16] М.И. Ибрагимова, И.А. Файзрахманов, И.Б. Хайбуллин. ФТП, **27**, 1276 (1993).

Редактор Л.В. Шаронова

<sup>2</sup> Приводимые в табл. 2 данные для  $\text{Cd}_x\text{Hg}_{1-x}\text{Te} \leftarrow \text{Xe}^+$  с  $x = 0.24$  относятся к образцам с исходной проводимостью *p*-типа.

# Recombination characteristics of ion-implanted (I, III and VIII groups) and thermally annealed $\text{Cd}_x\text{Hg}_{1-x}\text{Te}$ crystals

*M.I.Ibragimova, N.S.Baryshev, V.A.Zhikharev, I.B.Khayibullin*

Kazan Physicotechnical Institute, Russian Academy of Sciences  
420029, Kazan, Russia

Recombination properties of  $\text{Cd}_x\text{Hg}_{1-x}\text{Te}$  ( $0.19 \leq x \leq 0.32$ ) were studied after ion implantation (I, III and VIII group elements). It has been shown for all the elements that ion-implanted and annealed crystals having an inversion of  $n \rightarrow p$  type display recombination through single levels  $25 \pm 10$  meV below the conduction band edge. These levels are found to be produced by neutral recombination centers and can be related to vacancy complexes of  $(V_{\text{Hg}}V_{\text{Te}})$  type.

---